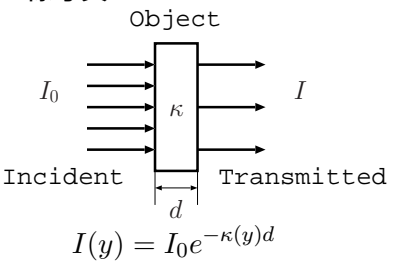
9. コンピュータトモグラフィー (CT) 9.1 X 線の吸収

X線写真



κ:減弱係数X線の場合原子番号に依存(重元素 → κ 大)

• κ が深さに依存する場合

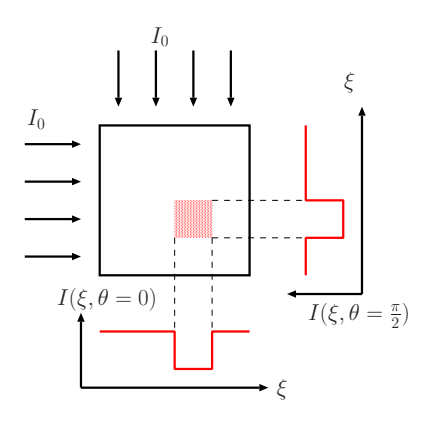
$$\kappa d \to \int_0^d \kappa(x,y) \, dx$$

$$\to \int_{-\infty}^\infty \kappa(x,y) \, dx$$

$$(\kappa(x,y) = 0 \quad \mathbf{吸収体以外})$$

×線写真では、κの光路に沿う 積分のみが求められる。

9.2 複数方向からの投影

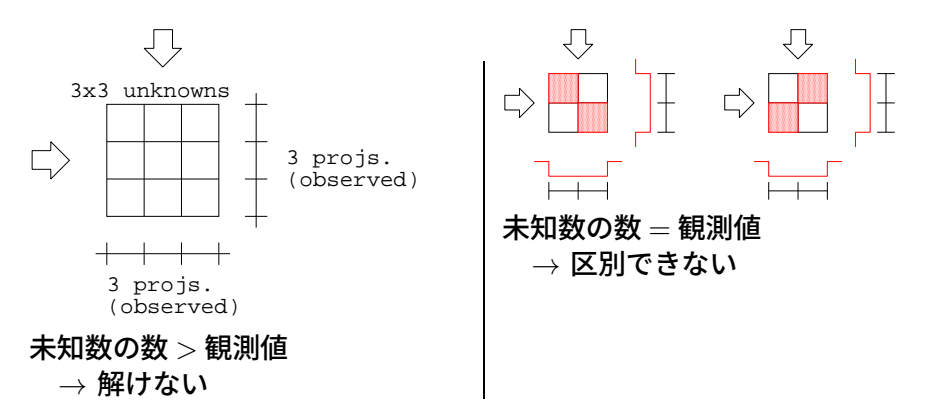


複数方向からの投影データを用いれば,深さ方向の κ の分布も含めた断層像を求めることができる。

₩

Computed Tomography (計算により求めた断層像)

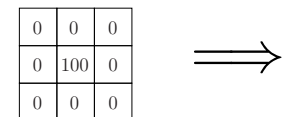
投影データと内部分布の数

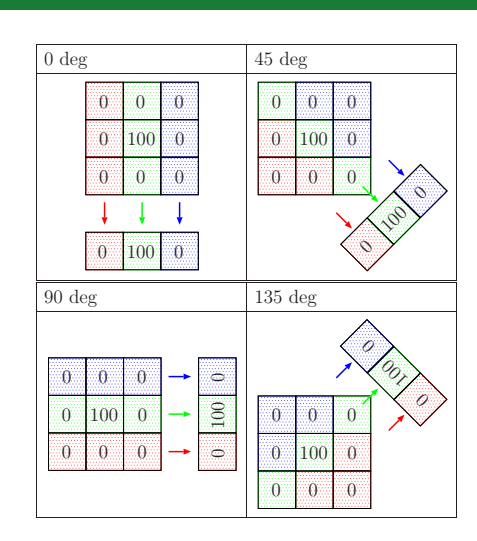


より多くの情報を得るために入射方向 (heta) を変えた観測を行う $heta\in[0,\pi]$

9.3 簡単な投影と逆投影の例 順投影 (測定過程)

順投影 \equiv 光路に沿った積分 $p(\xi,\theta) = \int_{\eta} \kappa(x,y) \, d\eta_{\theta}$ $(x \equiv x(\xi,\theta), \ y \equiv y(\xi,\theta))$ \rightarrow 投影方向の積算で代用





逆投影 (1) 単純逆投影

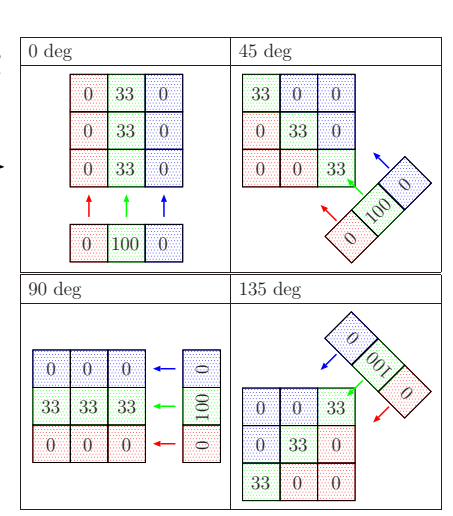
- それぞれの角度について、投 影データの平均を、光路上の 画素に配置
- ② マップした結果の平均を取る



8 8 8

元の分布より鈍っている 元の分布





逆投影 (2) フィルター付逆投影

単純逆投影では,再構成結果が平滑化されている。 この平滑化を低減するするために,投影データに,変化を強調するような フィルターを掛ける。

エッジ強調フィルター

$$g_n = f_n - kf_n''$$

$$= f_n - k(f_{n-1} - 2f_n + f_{n+1})$$

$$= -kf_{n-1} + (2k+1)f_n - kf_{n+1}$$

$$(k = 1)$$

$$g_n = \sum_{i=-1}^{+1} w_i f_{n-i}$$

$$(w_{-1}, w_0, w_{+1}) = (-1, +3, -1)$$

フィルター付逆投影

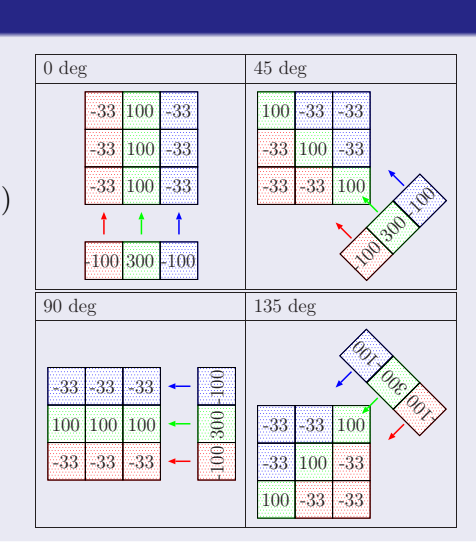
投影データのエッジ強調 p'

(e.g.)
$$p_j' = \sum_{i=-1}^{+1} w_i p_{j-i}$$

② 新しい p' を用いて逆投影

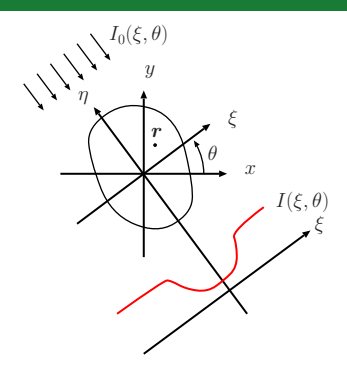
0	0	0	,
0	100	0	
0	0	0	

この例では元の分布と一致



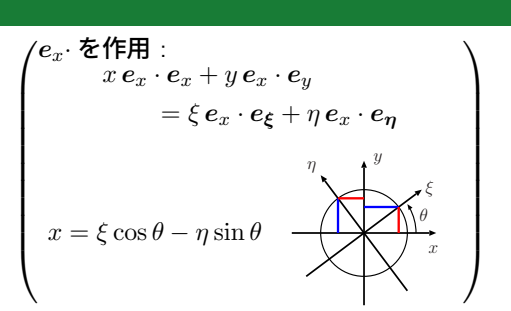
9.4 ラドン変換 (Radon Transform)

座標系



点rの表示

$$\mathbf{r} = x \, \mathbf{e}_x + y \, \mathbf{e}_y$$
$$= \xi \, \mathbf{e}_{\xi} + \eta \, \mathbf{e}_{\eta}$$



$$\begin{cases} x = +\xi \cos \theta - \eta \sin \theta \\ y = +\xi \sin \theta + \eta \cos \theta \end{cases}$$
$$\begin{cases} \xi = +x \cos \theta + y \sin \theta \\ \eta = -x \sin \theta + y \cos \theta \end{cases}$$

ラドン変換 (Radon Transform)

● 投影データ (known)

$$I(\xi, \theta) = I_0 e^{-\int_L \kappa(\mathbf{r}) dl}$$

$$L \in \{ \mathbf{r}(\xi, \eta; \theta) \mid \xi = \xi'(\mathsf{const}) \}$$

Sinogram (known)

$$p(\xi, \theta) \equiv -\log \frac{I(\xi, \theta)}{I_0}$$

ラドン変換 二次元空間の特定の直線上の 積分

$$p(\xi, \theta) = \int_{L} \kappa(\mathbf{r}(\xi, \theta)) dl$$

線積分から 二次元領域積分 への拡張

 $\mathcal{E}' = x \cos \theta + y \sin \theta$



$$\int_{L} [\cdots] dl = \int_{\xi = \xi'} [\cdots] d\eta$$

$$= \int_{-\infty}^{\infty} \int_{-\infty}^{\infty} [\cdots] \delta(\xi - \xi') d\xi' d\eta$$

$$= \int_{-\infty}^{\infty} \int_{-\infty}^{\infty} [\cdots] \delta(\xi - \xi'(x, y)) dx dy$$

$$= \iint [\cdots] \delta(\xi - (x \cos \theta + y \sin \theta)) dx dy$$

9.5 投影切断定理

• 投影データ (Sinogram)

$$p(\xi, \theta) = \iint \kappa(x, y) \delta(\xi - (x \cos \theta + y \sin \theta)) dx dy$$
 (1)

ξ に関する FT

$$P(k_{\xi}, \theta) = \iiint \kappa(x, y) \delta(\xi - (x \cos \theta + y \sin \theta)) e^{-jk_{\xi}\xi} dx dy d\xi$$
$$= \iint \kappa(x, y) e^{-jk_{\xi}(x \cos \theta + y \sin \theta)} dx dy$$
(2)

二次元フーリエ変換の極座標表現

順変換

$$F(k_x, k_y) = \iint f(x, y)e^{-j(k_x x + k_y y)} dx dy \qquad (k_x = k\cos\theta, \quad k_y = k\sin\theta)$$
$$= \iint f(x, y)e^{-jk(x\cos\theta + y\sin\theta)} dx dy \equiv F'(k, \theta)$$
(3)

逆変換

$$f(x,y) = \frac{1}{4\pi^2} \iint_0 F(k_x, k_y) e^{+j(k_x x + k_y y)} dk_x dk_y \qquad (\iint dk_x dk_y = \int_0^\infty \int_0^{2\pi} k \, d\theta \, dk)$$
$$= \frac{1}{4\pi^2} \int_0^\infty \int_0^{2\pi} F'(k, \theta) e^{+jk(x\cos\theta + y\sin\theta)} k \, d\theta \, dk \tag{4}$$

(2) 式と(3) 式と同じ形

切断投影定理

 $P(k_{\xi}, heta)$ は $\kappa(x,y)$ の二次元フーリエ変換を極座標表現したものと一致する

 $P(k_{\xi}, \theta)$ は既知なので (4) 式で逆変換すれば, $\kappa(x, y)$ が得られる。

$$\kappa(x,y) = \frac{1}{4\pi^2} \int_0^\infty \int_0^{2\pi} P(k_{\xi},\theta) e^{+jk_{\xi}(x\cos\theta + y\sin\theta)} k_{\xi} d\theta dk_{\xi}$$
 (5)

逆向きからの投影

$$\kappa(x,y) = \frac{1}{4\pi^2} \int_0^\infty \int_0^{2\pi} P(k_{\xi},\theta) e^{+jk_{\xi}(x\cos\theta + y\sin\theta)} k_{\xi} d\theta dk_{\xi}$$
$$= \frac{1}{4\pi^2} \int_{-\infty}^\infty \int_0^{\pi} P(k_{\xi},\theta) e^{+jk_{\xi}(x\cos\theta + y\sin\theta)} |\mathbf{k}_{\xi}| d\theta dk_{\xi}$$

$$\int_0^\infty \int_0^{2\pi} k_\xi \, d\theta \, dk_\xi = \int_0^\infty \int_0^\pi k_\xi \, d\theta \, dk_\xi + \int_0^\infty \int_\pi^{2\pi} k_\xi \, d\theta \, dk_\xi$$

逆向き投影

$$\begin{pmatrix} \theta \to \theta \pm \pi \\ \xi \to -\xi \end{pmatrix} \begin{pmatrix} p(\xi,\theta \pm \pi) = p(-\xi,\theta) \\ P(k_{\xi},\theta \pm \pi) = P(-k_{\xi},\theta) \\ e^{+jk_{\xi}(x\cos(\theta \pm \pi) + y\sin(\theta \pm \pi))} = e^{-jk_{\xi}(x\cos\theta + y\sin\theta)} \end{pmatrix}$$
 2nd Term
$$= \int_{0}^{\infty} \int_{\pi}^{2\pi} P(k_{\xi},\theta) e^{+jk_{\xi}(x\cos\theta + y\sin\theta)} k_{\xi} d\theta dk_{\xi} \qquad (\theta' = \theta - \pi)$$

$$= \int_{0}^{\infty} \int_{0}^{\pi} P(-k_{\xi},\theta') e^{-jk_{\xi}(x\cos\theta' + y\sin\theta')} k_{\xi} d\theta' dk_{\xi} \qquad (k'_{\xi} = -k_{\xi})$$

$$= \int_{0}^{-\infty} \int_{0}^{\pi} P(k'_{\xi},\theta') e^{+jk'_{\xi}(x\cos\theta' + y\sin\theta')} (-k'_{\xi}) d\theta' (-dk'_{\xi})$$

$$= \int_{0}^{0} \int_{0}^{\pi} P(k'_{\xi},\theta') e^{+jk'_{\xi}(x\cos\theta' + y\sin\theta')} |k'_{\xi}| d\theta' dk'_{\xi}$$

9.6 フーリエ変換を用いた再構成

$$\begin{split} \kappa(x,y) &= \frac{1}{4\pi^2} \int_{-\infty}^{\infty} \int_{0}^{\pi} P(k_{\xi},\theta) e^{+jk_{\xi}} \overbrace{(x\cos\theta + y\sin\theta)}^{\xi} |k_{\xi}| \, \frac{d\theta}{dk_{\xi}} \\ &= \frac{1}{2\pi} \int_{0}^{\pi} \underbrace{\frac{1}{2\pi} \int_{-\infty}^{\infty} [P(k_{\xi},\theta)|k_{\xi}|] \, e^{+jk_{\xi}\xi} \, dk_{\xi}}_{=\mathcal{F}_{k_{\xi}}^{-1} \left\{ P((k_{\xi},\theta)|k_{\xi}|] = q(\xi,\theta) \right.} \, \frac{1}{\Psi \mathfrak{P}} \underbrace{q(\xi(x,y),\theta) \, d\theta}_{=\mathcal{F}_{k_{\xi}}^{-1} \left\{ P(k_{\xi},\theta)|k_{\xi}|] = q(\xi,\theta) \right.}_{=\mathcal{F}_{k_{\xi}}^{-1} \left\{ P(k_{\xi},\theta)|k_{\xi}|] \, e^{+jk_{\xi}(x\cos\theta + y\sin\theta)} \, dk_{\xi} \right. \end{split}$$

$$\kappa(x,y) = \frac{1}{2} \left\langle \mathcal{F}_{k_{\xi}}^{-1} \left\{ \mathcal{F}_{\xi} \left\{ p(\xi,\theta) \right\}_{\xi} H(k_{\xi}) \right\}_{k_{\xi}} \right\rangle_{\theta}$$
 $(H(k_{\xi}) = |k_{\xi}| \quad \text{Ramp function の場合})$

- Sinogram :
 - $p(\xi, \theta)$
- ② 順 FT (ξ について): $P(k_{\xi},\theta) = \int_{-\infty}^{\infty} p(\xi,\theta)e^{-jk_{\xi}\xi} d\xi$

$$J-\infty$$
③ フィルタリング (重み $|k_{\xi}|$):

 $|k_{\xi}|P(k_{\xi}, heta)$ ④ 逆 FT $(k_{\xi}$ について) :

$$q(\xi,\theta) = \frac{1}{2\pi} \int_{-\infty}^{\infty} P(k_{\xi},\theta) |k_{\xi}| e^{+jk_{\xi}\xi} dk_{\xi}$$

⑤ 逆投影 (Backward projection)(座標変換 $+\theta$ 積分):

$$\kappa(x,y) = \frac{1}{2\pi} \int_0^{\pi} q(x\cos\theta + y\sin\theta, \theta) d\theta$$

一つの θ について二回のフーリエ変換 (順+逆) が必要

Filtered Back-Projection

- 逆 FT の直前に |k_ε| を乗じている
- この $|k_{\xi}|$ をスペクトル空間のフィルターと見なし、FT による方法は、Filtered Back-Projection (FBP) 法と呼ばれる。
- 実際の計算では, $k_{\mathcal{E}} \in [-\infty, \infty] \to [-k_{\max}, +k_{\max}].$
- k_{max} は、サンプリング間隔から決まるナイキスト周波数

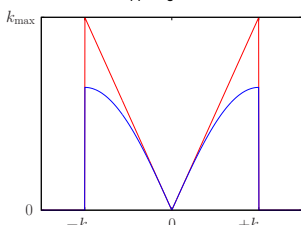
• 高周波成分によるリンギング (アーチファクト) を低減するために, $|k_{\xi}|$ の代わりに,別のフィルターを用いる場合もある。

(e.g. Shepp-Logan filter)

$$H(k_{\xi}) = \frac{2k_{\max}}{\pi} \sin \left| \frac{\pi k_{\xi}}{2k_{\max}} \right|$$

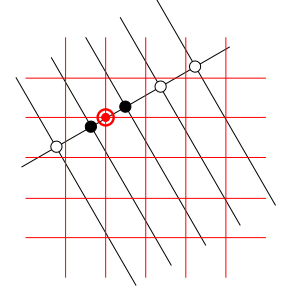
Ramp filter

Shepp-Logan filter

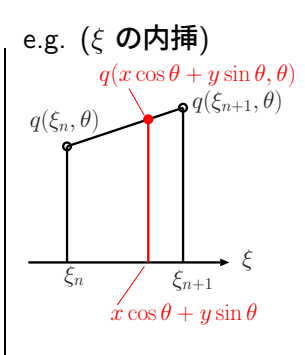


離散データの取扱い

- $p(\xi_n, \theta_m) = p(n\Delta\xi, m\Delta\theta)$ (n,m): 整数
- $\kappa(x_i, y_j) = \kappa(i\Delta x, j\Delta y)$ (i, j): **EXM**



• $q(x\cos\theta + y\sin\theta, \theta)$ を $q(\xi_n, \theta)$ から 求めるためには,内挿が必要



畳み込み積分による再構成

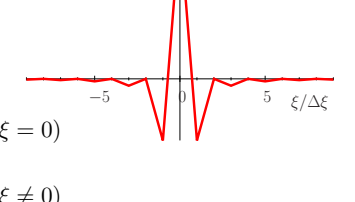
$$\left\{ \begin{array}{l} c(x) = \int a(x')b(x - x') \, dx' \\ C(k) = A(k)B(k) \end{array} \right\} \iff c(x) = \frac{1}{2\pi} \int A(k)B(k)e^{+jkx} \, dk$$

$$q(\xi,\theta) = \frac{1}{2\pi} \int_{-k_{\text{max}}}^{k_{\text{max}}} P(k_{\xi},\theta) H(k_{\xi}) e^{+jk_{\xi}\xi} dk_{\xi} = \int_{-\xi_{\text{max}}}^{\xi_{\text{max}}} p(\xi',\theta) h(\xi - \xi') d\xi'$$

• If
$$H(k_{\xi})=|k_{\xi}|$$
,

$$h(\xi) = \frac{1}{2\pi} \int_{-k_{\text{max}}}^{k_{\text{max}}} |k_{\xi}| e^{+jk_{\xi}\xi} dk_{\xi}$$

$$= \begin{cases} \frac{1}{2\pi} k_{\text{max}}^{2} & (\xi = 0) \\ \frac{1}{\pi} \frac{k_{\text{max}}}{\xi} \sin(k_{\text{max}}\xi) + \frac{1}{\xi^{2}} (\cos(k_{\text{max}}\xi) - 1) & (\xi \neq 0) \end{cases}$$



周囲の値を減算 ⇔ エッジ強調

- Sinogram : $p(\xi, \theta)$
- ② 畳み込み積分:

$$q(\xi, \theta) = \int p(\xi', \theta) h(\xi - \xi') d\xi'$$

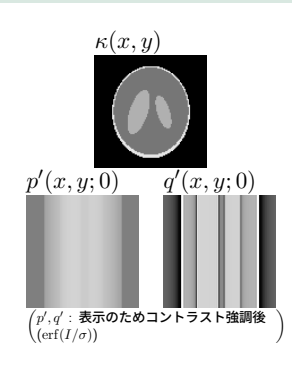
逆投影:

$$\kappa(x,y) = \frac{1}{2\pi} \int_0^{\pi} q(x\cos\theta + y\sin\theta, \theta) d\theta$$

一つの heta について一回の畳み込み積分のみ。 フーリエ変換は不要。

乗算回数 ($ heta$ 毎)				
フーリエ変換	DFT × 2	$2N^2$		
(2回)	FFT × 2	$2N \log N$		
畳み込み積分	全点	N^2		
重の処の傾力	近傍 M 点 $(M \ll N)$	MN		

→ 近傍の畳み込みのみなら DFT より高速



Filtered Back-projection と単純逆投影

Filtered Back-Projection

$$\kappa(x,y) = \frac{1}{2} \left\langle \mathcal{F}_{k_{\xi}}^{-1} \left\{ \mathcal{F}_{\xi} \left\{ p(\xi,\theta) \right\}_{\xi} H(k_{\xi}) \right\}_{k_{\xi}} \right\rangle_{\theta}$$

• 単純逆投影

$$H(k) = 1$$

$$\kappa(x, y) = \frac{1}{2} \left\langle \mathcal{F}_{k_{\xi}}^{-1} \left\{ \mathcal{F}_{\xi} \left\{ p(\xi, \theta) \right\}_{\xi} \right\}_{k_{\xi}} \right\rangle_{\theta} = \frac{1}{2} \left\langle p(\xi, \theta) \right\rangle_{\theta}$$

$$= \frac{1}{2\pi} \int_{0}^{\pi} p(\xi, \theta) d\theta$$

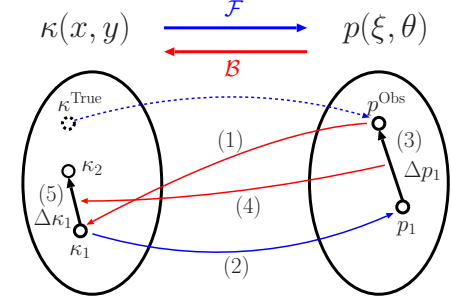
- ▶ FT は不要 → 高速
- ▶ 再構成された分布にぼけが発生してしまう。
- → 数値的な順投影と,逆投影を繰り返す。

9.7 逐次近似再構成

いる。

逆投影で得られた再構成結果を,順 投影すれば,投影データの誤差の評 価が可。

この誤差を再度逆投影し,元の再構成像に加え,再構成像を修正。 逆投影には高速な,単純逆投影を用



- (1) 投影データを逆投影 : $\kappa_1 = \mathcal{B}\left\{p^{\mathrm{Obs}}\right\}$
- (2) 再構成結果を順投影 : $p_1 = \mathcal{F} \{\kappa_1\}$
- (3) 投影データの不足分 : $\Delta p_1 = p^{\mathrm{Obs}} p_1$
- (4) 不足分を逆投影 : $\Delta \kappa_1 = \mathcal{B} \{ \Delta p_1 \}$
- (5) 再構成像を修正 : $\kappa_2 = \kappa_1 + \alpha \Delta \kappa_1$

 $egin{pmatrix} lpha :$ 安定化のための緩和係数 $0 < lpha \le 1$

単純逆投影

Sinogram

$$p(\xi_n, \theta_m) = \int_{L_{nm}} \kappa(x, y) \, dl \simeq \overline{\kappa(x, y \in L_{nm})} \Delta l_{nm}$$

$$\to \overline{\kappa(x, y \in L_{nm})} = \frac{p(\xi_n, \theta_m)}{\Delta l_{nm}} \qquad \left(\Delta l_{nm} = \int_{L_{nm}} dl\right)$$

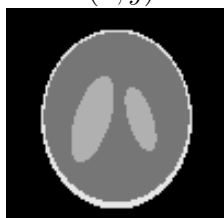
• 光路 L_{nm} 上の全ての pixel に,投影データの 1pixel あたりの 平均値をマッピング

$$\kappa(x_i, y_j) = \frac{1}{N_n} \sum_{m} \sum_{n} a_{i,j,n,m} \frac{p(\xi_n, \theta_m)}{\Delta l_{nm}}$$

 $a_{i,j,n,m}$: pixel (x_i,y_j) と幅 $\Delta \xi$ のビームの光路 L_{nm} が 重なりあう面積の割合

9.8 再構成シミュレーション例

True $\kappa(x,y)$

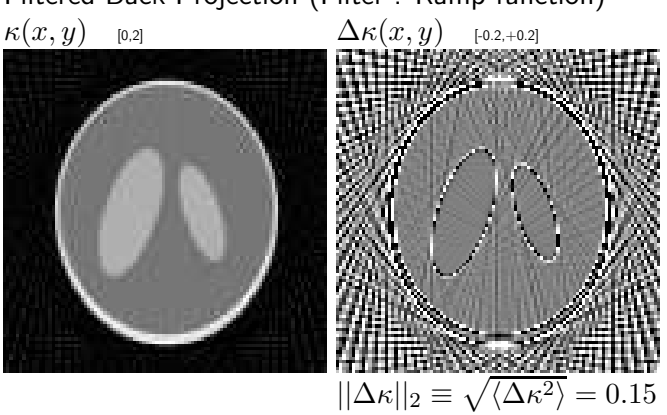


Sinogram $p(\xi, \theta)$



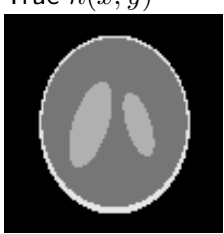
$$\begin{split} \kappa(x,y) &\in [0,2]\text{,} \\ N_x &= N_y = 100\text{,} \\ N_\xi &= 100\text{,} \\ N_\theta &= 45(\Delta\theta = 4\text{deg}) \end{split}$$

Filtered Back-Projection (Filter: Ramp function)



Line artifact

True $\kappa(x,y)$

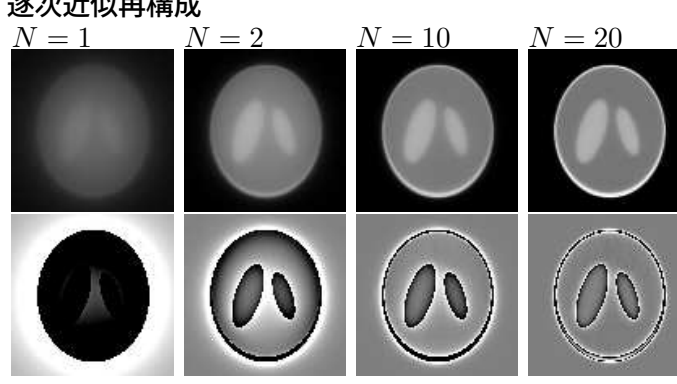


Sinogram $p(\xi, \theta)$



$N_{\theta} = 45(\Delta\theta = 4\deg)$

逐次近似再構成



$$||\Delta\kappa||_2 = 0.42 \quad ||\Delta\kappa||_2$$

 $||\Delta \kappa||_2 = 0.25$ $||\Delta \kappa||_2 = 0.17$ エッジのぼけの緩和

 $||\Delta \kappa||_2 = 0.11$